

В. В. КОМАРОВ, ШТЕФАН МУСКАЛУ, А. М. ПОПОВА

## ДИФФЕРЕНЦИАЛЬНОЕ СЕЧЕНИЕ НЕУПРУГОГО ВЗАИМОДЕЙСТВИЯ НУКЛОНОВ С ДЕЙТЕРОНАМИ

На основе точного интегрального уравнения для амплитуды взаимодействия трех нуклонов при малых энергиях [1, 2] получены простые формулы для дифференциального сечения неупругого взаимодействия нуклонов с дейтеронами.

Рассматривается случай тождественных бесспиновых частиц. Обобщение полученных результатов на случай реальных частиц может быть проведено с помощью метода, изложенного в работе [2].

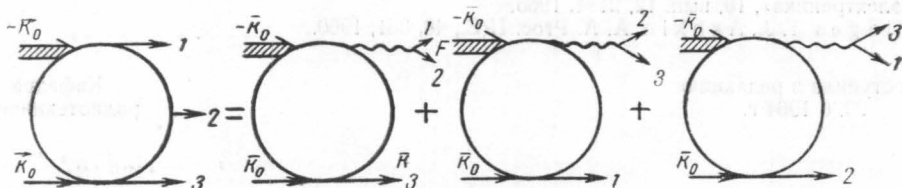


Рис. 1. Графическое представление амплитуды неупругого рассеяния нуклона на дейтероне в виде суммы трех амплитуд, отвечающих рассеянию каждой пары частиц в конечном состоянии

Как было показано в работах [3, 4], амплитуда неупругого взаимодействия нуклона на дейтероне в предположении, что существенны лишь парные силы, является суммой трех амплитуд (рис. 1), отвечающих взаимодействию одной возможной пары частиц в конечном состоянии. Каждую из этих амплитуд, например, амплитуду, соответствующую взаимодействию частиц 1 и 2 в конечном состоянии, можно представить в виде вкладов от бесконечного ряда нерелятивистских диаграмм теории возмущений (см. рис. 2).

Приведенный ряд диаграмм (рис. 2) может быть суммирован; полученное графическое изображение (рис. 3) позволяет получить интегральное уравнение для амплитуды рассеяния нуклона на дейтероне. На рисунках  $\vec{k}_0$  обозначен импульс относительного движения нуклона и дейтерона до реакции,  $\vec{f}$  — импульс относительного движения двух взаимодействующих в конечном состоянии нуклонов 1 и 2,  $\vec{k}$  — импульс нуклона 3 в системе центра масс.

В данных обозначениях указанную амплитуду рассматриваемой реакции, отвечающую взаимодействию частиц 1 и 2 в конечном состоянии и являющуюся в общем случае функцией четырех переменных, можно записать как функцию  $A(\vec{k}_0; \vec{k}, f)$  величины импульса нуклона 3, угла вылета нуклона 3 —  $\theta$  и угол вектора относительно направления вектора  $k_0^*$ .

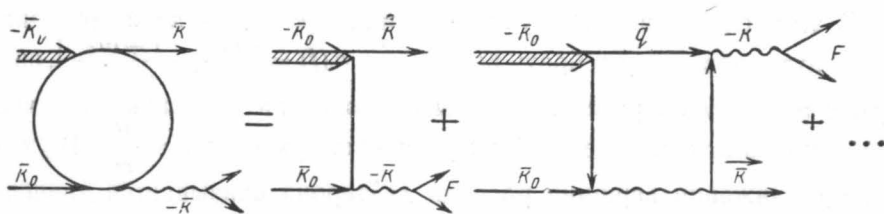


Рис. 2. Бесконечный ряд нерелятивистских диаграмм, соответствующих амплитуде неупругого рассеяния нуклона на нуклоне

Как было показано в работах [1—2], для амплитуды  $A(\vec{k}_0; \vec{k}, f)$  на основании графического уравнения рис. 3 можно записать интегральное уравнение вида

$$A(\vec{k}_0; \vec{k}, f) = A_0(\vec{k}_0; \vec{k}, f) + 8\pi \frac{dq}{(2\pi)^3} A(\vec{k}_0; \vec{q}, \vec{k}'') \frac{a(\vec{f}, \vec{f}', E)}{\left[\left(\frac{k}{2} + q\right)^2 - f^2\right]}, \quad (1)$$

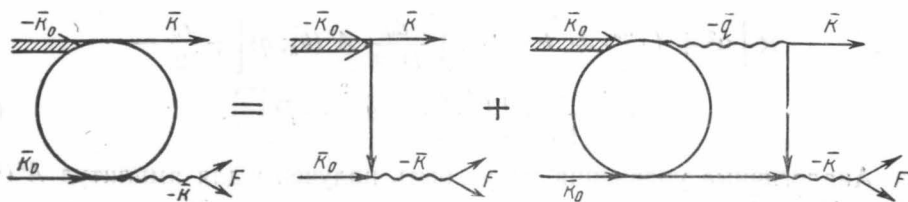


Рис. 3. Графическое уравнение для амплитуды рассеяния нуклона на нуклоне

где

$$A_0(\vec{k}_0; \vec{k}, f) = -\frac{8}{3} \sqrt{8\pi\alpha_t \text{Res } a^{\text{пол}}(\vec{f}'', E)} \frac{a(\vec{f}'_2, \vec{f}, E)}{\left[\alpha_t^2 + \left(\frac{k_0}{2} + k\right)^2\right]}$$

$a(\vec{f}'_1, \vec{f}, E)$  и  $a(\vec{f}, \vec{f}', E)$  — обобщенные амплитуды рассеяния нуклона на нуклоне, взятые не на массовой поверхности; вектора  $\vec{f}' = \left(\vec{q} - \frac{\vec{k}}{2}\right)$  и  $\vec{f}'' = \left(\vec{k}_0 - \frac{\vec{k}}{2}\right)$  являются импульсами относительного движения нуклонов до рассеяния; вектор  $\vec{f}$  — относительный импульс нуклонов после рассеяния,  $E$  — относительная энергия взаимодействующих частиц, равная в данном случае  $\frac{f^2}{m}$ . В выражении  $A_0(\vec{k}_0; \vec{k}, f)$  функция  $G(\vec{f}'') = \sqrt{8\pi\alpha_t \text{Res } a^{\text{пол}}(\vec{f}'', E)}$

\* Значение вектора может быть определено из уравнения, полученного на основании закона сохранения энергии.

есть вершина распада дейтерона на два нуклона [1 — 2], характеризующихся импульсом относительного движения  $\vec{f}' = \left( \vec{k} - \frac{\vec{k}_0}{2} \right)$ .

В случае неупругого взаимодействия нуклонов с дейтеронами при больших энергиях, т. е. если  $k_0 > \alpha$ , но  $kr_0 < 1$ , то (как показано в работах [1, 2]) вклады от диаграмм рис. 2 могут быть записаны в линейном приближении по радиусу взаимодействия двух нуклонов.

В этом случае вместо функции Грина  $a(\vec{k}, \vec{k}', E)$  двух рассеивающихся нуклонов следует брать величину  $a(f) = \left[ \frac{r_0}{2} + \frac{1 + \alpha r_0}{\alpha + if} \right]$ , являющуюся амплитудой рассеяния пары нуклонов на массовой поверхности и зависящую от относительной энергии этих нуклонов  $E = \frac{f^2}{m}$ . В указанном приближении вершина распада дейтерона оказывается зависящей только от энергии связи дейтерона  $\frac{\alpha_t^2}{m}$  и радиуса действия ядерных сил  $r_0$  и имеет вид

$$G_{d-2N} = \frac{i}{m} \sqrt{8\pi d_t (1 + \alpha r_{ot})}.$$

Отсюда ясно, что в линейном приближении по  $r_0$  амплитуда рассеяния нуклона на дейтероне будет функцией лишь двух переменных, а именно — величины импульса  $k$  и угла рассеяния  $\vartheta$ , а уравнение для нее будет иметь вид

$$A'(\vec{k}_0; \vec{k}) = -\frac{8}{3} \sqrt{8\pi \alpha_t (1 + \alpha_t r_{ot})} \left[ \frac{r_0}{2} - \frac{1 + \alpha r_0}{\alpha + if} \right] \times \\ \times \left[ \alpha_t^2 + \left( \frac{\vec{k}_0}{2} + \vec{k} \right)^2 + 8 \int \frac{dq}{(2\pi)^3} A'(\vec{k}_0; \vec{q}) \left[ + \frac{r_0}{2} - \frac{1 + \alpha r_0}{\alpha + if} \right] \left[ \left( \frac{\vec{k}}{2} + \vec{q} \right)^2 - f^2 \right]^{-1} \right]. \quad (2)$$

Аналогичные уравнения могут быть получены для амплитуд  $A'(\vec{k}_0; k_2)$  и  $A'(\vec{k}_0; \vec{k}_2)$  неупругого рассеяния нуклона на дейтероне, которые отвечают взаимодействию частиц 2 и 1 или 3 и 1 в конечном состоянии (см. рис. 1). Здесь  $\vec{k}_1$  и  $\vec{k}_2$  — импульсы движения частиц 1 или 2 относительно системы частиц 2 и 3 либо 3 и 1 соответственно.

Эти уравнения могут быть получены из уравнения (2), если в последнем импульсы  $\vec{k}$  и  $\vec{f}$  заменить на  $\vec{k}_1$  и  $\vec{f}_{23}$  либо  $\vec{k}_2$  и  $\vec{f}_{31}$ .

Амплитуда  $A'(N + \alpha) = A'(\vec{k}_0; \vec{k}) + A'(\vec{k}_0; \vec{k}_1) + A'(\vec{k}_0; \vec{k}_2)$ , в которой каждое из слагаемых определяется из соответствующего уравнения, может быть использована для исследования угловых и энергетических распределений продуктов реакции неупругого взаимодействия нуклонов с дейтеронами при малых и средних энергиях.

Оказалось возможным в случае высокой энергии ( $k_0 > \alpha$ ) и при условии  $f \ll k$  получить простую формулу для  $A(N + d) = A'(\vec{k}_0; \vec{k}) + A'(\vec{k}_0; \vec{k}_1) + A'(\vec{k}_0; \vec{k}_2)$ , не решая уравнений, а вычисляя вклады от диаграмм.

Возьмем сначала амплитуду  $A'(\vec{k}_0; \vec{k})$ . Вклад  $A'_0(\vec{k}_0; \vec{k})$  от полюсной диаграммы, отвечающей амплитуде  $A'(\vec{k}_0; \vec{k})$ , является свободным членом в уравнении (2) и имеет вид

$$A'_0(\vec{k}_0; \vec{k}) = \frac{8}{3} \sqrt{8\pi \alpha_t (1 + \alpha_t r_{ot})} \left[ \frac{r_0}{2} - \frac{1 + \alpha r_0}{\alpha + if} \right] \left[ \alpha_t^2 + \left( \frac{\vec{k}_0}{2} + \vec{k} \right)^2 \right]^{-1}. \quad (3)$$

Рассмотрим вклад от квадратной диаграммы. Для его вычисления целесообразно блок рассеяния нуклона на нуклоне представить в виде двух частей: первой, не содержащей полюса и равной величине  $\frac{r_0}{2}$  (вклад от блока контактного взаимодействия), и второй, равной величине  $\frac{1+ar_0}{a+if}$ , имеющей полюс при  $f=ia$ , отвечающий двухчастичному состоянию. Если при вычислении квадратной диаграммы для блока взаимодействия двух нуклонов в промежуточном состоянии использовать указанное представление, то квадратная диаграмма распадется на сумму двух диаграмм. Первая из них будет треугольной диаграммой вида рис. 4, так как вместо блока рассеяния двух нуклонов в промежуточном

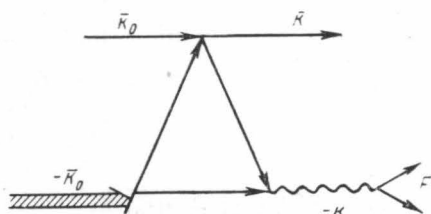


Рис. 4. Треугольная диаграмма, являющаяся частью квадратной диаграммы рис. 2

состоянии в ней будет стоять вершина контактного взаимодействия нуклонов. Вклад от нее был вычислен в работе [3] и имеет вид

$$\begin{aligned}
 A'_{ab_1}(\vec{k}_0; \vec{k}) &= \frac{64}{3} \pi \left[ \frac{r_0}{2} - \frac{1+ar_0}{a+if} \right] \times \\
 &\times \sqrt{8\pi a(1+ar_0)} \int \frac{d\vec{q}}{(2\pi)^3} \frac{\frac{r_0}{2}}{\left[ \alpha^2 + \left( \frac{\vec{k}_0}{2} + q \right)^2 \right] \left[ \left( \frac{\vec{k}}{2} + \vec{q} \right)^2 - f^2 \right]} = \\
 &= \left[ \frac{8}{3} \sqrt{8\pi a(1+ar_0)} \right] \frac{r_0}{4iq} \ln \frac{\alpha - i(f-q)}{\alpha - i(f+q)} \left[ \frac{r_0}{2} - \frac{1+ar_0}{a+if} \right]. \quad (4)
 \end{aligned}$$

Вторая диаграмма, имеющая вид квадратной диаграммы, будет определяться интегралом вида

$$\begin{aligned}
 A'_{kb_2}(\vec{k}_0; \vec{k}) &= \frac{64}{3} \pi a(f) \sqrt{8\pi a(1+ar_0)} \int \frac{d\vec{q}}{(2\pi)^3} \times \\
 &\times \frac{\left[ \frac{1+ar_0}{a+if} \right]}{\left[ \alpha^2 + \left( \frac{\vec{k}_0}{2} + q \right)^2 \right] \left[ \left( \frac{\vec{k}}{2} + \vec{q} \right)^2 - f^2 \right]}, \quad (5)
 \end{aligned}$$

где

$$f' = \sqrt{\frac{3}{4}(k_0^2 - q^2) - \alpha}, \quad a(f) = \left[ \frac{r_0}{2} - \frac{1+ar_0}{a+if} \right].$$

При  $f \ll k$  интеграл в (5) может быть вычислен. Действительно, в этом случае часть подынтегральной функции

$$\frac{1}{\left[ \alpha^2 + \left( \frac{\bar{k}_0}{2} + q \right)^2 \right] \left[ \left( \frac{\bar{k}}{2} + q \right)^2 - f^2 \right]}$$

имеет острый максимум при  $\bar{q} = -\frac{\bar{k}}{2} = -\frac{\bar{k}_0}{2}$ . В этой области изменения переменной  $\bar{q}$  полюсная часть амплитуды  $a(f')$  является медленно меняющейся функцией  $|\bar{q}|$  и, следовательно, ее можно вынести за знак интеграла в точке  $\bar{q} = -\frac{\bar{k}_0}{2}$  или при  $f' = \frac{3}{4} k_0 = f'_M$ . После указанного вынесения функции  $\frac{1 + \alpha r_0}{\alpha + if'}$  оставшийся интеграл может быть вычислен, так как его подынтегральное выражение будет в точности равно подынтегральной функции во вкладе от треугольной диаграммы.

Итак, в области  $f \ll k$  вклад от всей квадратной диаграммы будет иметь вид

$$A'_{\text{кв}}(\bar{k}_0, \bar{k}) = -\frac{8}{3} \sqrt{8\pi\alpha(1 + \alpha r_0)} \left[ \frac{r_0}{2} - \frac{1 + \alpha r_0}{\alpha + if'} \right] \times \\ \times \left[ \frac{r_0}{2} - \frac{1 + \alpha r_0}{\alpha + if'_M} \right] \frac{1}{2iq} \ln \frac{\alpha - i(f - q)}{\alpha - i(f + q)}. \quad (6)$$

Если ограничиться малыми углами вылета частиц, т. е. малыми передаваемыми импульсами, то, пренебрегая членами, пропорциональными  $q^2$ , малыми по сравнению с значениями  $(\alpha^2 + f^2)$ , можно записать  $A'_{\text{кв}}(k_0, k)$  в виде

$$A'_{\text{кв}}(\bar{k}_0, \bar{k}) = -\frac{8}{3} \sqrt{8\pi\alpha(1 + \alpha r_0)} \left[ \frac{r_0}{2} - \frac{1 + \alpha r_0}{\alpha + if} \right] \left[ \frac{r_0}{2} - \frac{1 + \alpha r_0}{\alpha + if'_M} \right] \frac{\alpha + if}{\alpha^2 + f^2} \quad (7)$$

Вклады от диаграмм, следующих за квадратной, в области  $k_0 > \alpha$  и  $k \sim k_0$  целесообразно представить в виде

$$\left[ \frac{r_0}{2} - \frac{1 + \alpha r_0}{\alpha + if} \right] G(k_0, \vartheta, f), \quad (8)$$

причем в работе [5] показано, что функция  $G(k_0, \vartheta, f)$  может быть разложена в ряд по степеням  $f/k_0$ , т. е.

$$G(k_0, \vartheta, f) = C_0(k_0, \vartheta) + C_1(k_0, \vartheta) \frac{f}{k_0} + C_2(k_0, \vartheta) \left( \frac{f}{k_0} \right)^2 + \dots,$$

а для определения  $C_i(\vartheta, k_0)$  получены простые интегральные уравнения.

Рассмотрим вклады от диаграмм, отвечающих амплитудам  $A'(\bar{k}_0; \bar{k}_1)$  и  $A'(\bar{k}_0; \bar{k}_2)$ , соответствующим взаимодействию частиц 2 и 3 либо 3 и 1 в конечном состоянии. Если заданы импульсы  $\bar{k}_3 = \bar{k}$  и  $\bar{f}_{12} = f$ , то импульсы  $\bar{k}_1$ ,  $\bar{k}_2$ ,  $\bar{f}_{23}$  и  $\bar{f}_{31}$  могут быть просто выражены через них:

\* Такое исследование вкладов от четырехугольной диаграммы, отвечающей амплитуде неупругого взаимодействия нейтронов с дейтеронами, было проведено также в работе [5].

$$\begin{aligned}\bar{k}_1 &= \frac{\bar{k}}{2} + \bar{f}, & \bar{f}_{23} &= -\frac{3}{4}\bar{k} - \frac{\bar{f}}{2}, \\ \bar{k}_2 &= \frac{\bar{k}}{2} - \bar{f}, & \bar{f}_{31} &= -\frac{3}{4}\bar{k} + \frac{\bar{f}}{2}.\end{aligned}\quad (9)$$

Поскольку мы интересуемся областью  $f \gg k$  ( $k \approx k_0$ ), т. е. той областью изменения импульсов частиц, где сильно взаимодействие частиц 1 и 2 в конечном состоянии, то вклады от диаграмм в амплитуды  $A'(\bar{k}_0; \bar{k}_1)$  и  $A'(\bar{k}_0; \bar{k}_2)$  целесообразно представить в виде произведения  $a(f)$  амплитуды рассеяния частиц 1 и 2 на некоторую функцию  $F_i(k_0, \vartheta, t)$ .

Ясно, что функции  $F_i^1(k_0, \vartheta, t)$  и  $F_0^2(k_0, \vartheta, f)$  для вкладов от полюсных диаграмм, соответствующих амплитудам  $A'(k_0; k_1)$  и  $A'(k_0; k_2)$ , будут иметь вид

$$\begin{aligned}F_0^1(k_0, \vartheta, f) &= \frac{8}{3} \frac{1}{af} \sqrt{8\pi\alpha(1+ar_0)} \left[ \frac{r_0}{2} - \frac{1+ar_0}{\alpha+if_{23}} \right] \cdot \left[ \frac{1}{\alpha^2+(q-f)^2} \right], \\ F_0^2(k_0, \vartheta, f) &= \frac{8}{3} \frac{1}{af} \sqrt{8\pi\alpha(1+ar_0)} \left[ \frac{r_0}{2} - \frac{1+ar_0}{\alpha+if'_{31}} \right] \left[ \frac{1}{\alpha^2+(q+f)^2} \right],\end{aligned}\quad (10)$$

где

$$\bar{q} = \frac{\bar{k}_0 - \bar{k}}{2}, \quad \bar{f}'_{23} = -\frac{3}{4}\bar{k}_0 + \frac{\bar{f}}{2}, \quad \bar{f}'_{31} = -\frac{3}{4}\bar{k}_0 - \frac{\bar{f}}{2}.$$

Функции  $F_1(k_0, \vartheta, f)$  и  $F^1(k_0, \vartheta, f)$  для вкладов от квадратных диаграмм указанных амплитуд оказываются вялыми функциями  $f$  и при  $k \gg f$  их можно представить в виде ряда по степеням  $f/k_0$  [6].

Следовательно, при высокой энергии ( $k_0 \gg \alpha$ ) и при  $k \gg f$  амплитуда  $A(N+d) = A^1(\bar{k}_0; \bar{k}) + A^1(\bar{k}_0; \bar{k}_1) + A^1(\bar{k}_0; \bar{k}_2)$  неупругого рассеяния нейтрона на дейтероне может быть представлена в виде

$$\begin{aligned}A(N+d) &= a(f) \left[ -\frac{8}{3} \sqrt{8\pi\alpha(1+ar_0)} \right] \left\{ \left[ \alpha^2 + \left( \frac{\bar{k}_0}{2} + \bar{k} \right)^2 \right]^{-1} + \right. \\ &+ \left[ \frac{r_0}{2} - \frac{(1+ar_0)}{\alpha+i^{3/4}k_0} \right] \frac{1}{2iq} \ln \frac{\alpha-i(f-q)}{\alpha-i(f+q)} + \\ &+ \frac{1}{a(f)} \left[ \frac{r_0}{2} - \frac{1+ar_0}{\alpha+i^{3/4}k_0} \right] \left[ \frac{1}{\alpha^2+(q-f)^2} + \frac{1}{\alpha^2+(q+f)^2} \right] + \\ &+ C_0^1(k_0, \vartheta) + \frac{f}{k_0} C_1(k_0, \vartheta) + \left( \frac{f}{k_0} \right)^2 C_2(k_0, \vartheta) + \dots \left. \right\}.\end{aligned}\quad (11)$$

При указанной записи амплитуды  $A(N+d)$  выражение, стоящее в фигурных скобках, не должно содержать членов, пропорциональных первой степени величины  $f$ , а также любой нечетной степени  $f$ , так как в области малых  $f$ , т. е. в интересующей нас области, все особенности амплитуды  $A(N+d)$  по переменной  $f$  могут быть выделены в виде множителя  $a(f)$ .

Нетрудно показать, что сумма вкладов от первых диаграмм, вычисленных в явном виде в фигурных скобках в (11), не содержит членов, пропорциональных первой степени  $f$ , следовательно, коэффициент  $C_1(k_0, \vartheta)$  при члене  $(f/k_0)$  должен быть равен нулю.

Сравнение с расчетами, выполненными в импульсном приближении, показало, что при  $f \ll k$  и  $k_0 \gg \alpha$  сумма вкладов от полюсных диаграмм, отвечающих амплитудам  $A^1(\bar{k}_0; \bar{k})$ ,  $A^1(\bar{k}_0; \bar{k}_1)$  и  $A^1(\bar{k}_0; \bar{k}_2)$ , и квадратной диаграммы, отвечающей амплитуде  $A^1(k_0; \bar{k})$ , вычисленная в настоящей



работе в явном виде, в точности отвечает выражению для амплитуды, найденной в импульсном приближении.

Отсюда следует, что, если частицы 1 и 2 сильно взаимодействуют в конечном состоянии, то с точностью до членов, пропорциональных  $(f/k_0)^{\nu}$ , где  $\nu=2, 4, \dots$ , амплитуда неупругого рассеяния нуклона на дейтероне, найденная в импульсном приближении, отличается от точной амплитуды данной реакции на величину  $C_0^1(k_0\nu)$ , зависящую от начальной энергии и угла вылета частицы 3.

В работе [6] получены простые интегральные уравнения для определения поправок к импульсному приближению. Отметим, что при высокой энергии поправками, пропорциональными  $(f/k_0)^{\nu}$ , можно пренебречь, а величину  $C_0(k_0, \theta)$  вычислить из сравнения с экспериментальными данными. Такое определение значения  $C_0(k_0, \theta)$  проведено нами для различных  $k_0$  и  $\theta$  в работе [8].

В области  $kr_0 > 1$  при вычислении вкладов от диаграмм, отвечающих взаимодействию нуклона с дейтроном, в качестве значений блоков рассеяния нуклона на нуклоне, как указывалось выше, необходимо брать величины, пропорциональные функции Грина двух рассеивающихся частиц. Вершина распада дейтерона  $G_{d-2N}$  в этом случае будет определяться величиной, зависящей от импульса относительного движения нуклонов, образующихся при распаде дейтерона.

Вклад  $A_0(\vec{k}_0; \vec{k}, f)$  от полюсной диаграммы, отвечающей взаимодействию частиц 1 и 2, в конечном состоянии с малыми импульсами их относительного движения  $\vec{f}$  имеет вид

$$A_0(\vec{k}_0; \vec{k}, f) = \frac{8}{3} G_{d-2N}(\vec{f}'') a(\vec{f}', \vec{f}, E) \frac{-1}{\alpha^2 + \left(\frac{\vec{k}_0}{2} + \vec{k}\right)^2}. \quad (12)$$

Здесь  $\vec{f}'' = -\frac{\vec{k}_0}{2} - \vec{k}$ ,  $\vec{f}' = -\vec{k}_0 - \frac{\vec{k}}{2}$ ,  $E = \frac{f^2}{m}$ . При  $\vec{k}_0 \sim \vec{k}_0$  и  $k_0 \gg \alpha$  вклад  $A_0(\vec{k}_0; \vec{k}, \vec{f})$  может быть приведен к виду

$$A_0(\vec{k}_0; \vec{k}, f) = \frac{8}{3} G_{d-2N} \left(\frac{3}{4} k_0\right) a \left(\frac{3}{4} \vec{k}_0, \vec{f}, \frac{f^2}{m}\right) \frac{1}{3/4 k_0}. \quad (13)$$

Вклад  $A_1(k_0; k, f)$  от квадратной диаграммы в этом случае имеет вид интеграла

$$A_1(\vec{k}_0; \vec{k}_0, f) = \frac{8}{3} \int \frac{G_{d-2N}(f'') \frac{1}{\pi^2} d\bar{q} a(\vec{k}', \vec{k}'', E') a(\vec{f}_1, \vec{f}, E)}{\left[\alpha^2 + \left(\frac{\vec{k}_0}{2} + \bar{q}\right)^2\right] \left[-f^2 + \left(\frac{\vec{k}_0}{2} + \bar{q}\right)^2\right]}, \quad (14)$$

где

$$\vec{f}_1'' = -\frac{\vec{k}_0}{2} - \bar{q}, \quad \vec{k}' = -\vec{k}_0 - \frac{\bar{q}}{2}, \quad \vec{k}'' = -\vec{k} - \frac{\bar{q}}{2},$$

$$E = \frac{f^2}{m}, \quad mE^1 \sqrt{\frac{3}{4}(k_0^2 - q^2) - \alpha^2}.$$

При  $\vec{k} \sim \vec{k}_0$  максимум этого интеграла находится в точке  $q = \frac{-k_0}{2} = \frac{-k}{2}$ .

Амплитуды  $a(\vec{k}', \vec{k}'', E)$  и  $a(\vec{f}_1', \vec{f}, E)$ , стоящие под интегралом в (14), являются мало меняющимися функциями в этой области изменения пе-

ременной  $\bar{q}$ , и, следовательно, их можно вынести за знак интеграла в точке  $\bar{q} = -\frac{\bar{k}_0}{2} = -\frac{\bar{k}}{2}$  или в точках

$$\bar{f}'_1 = \bar{f}, \quad \bar{k}' = -\frac{3}{4}\bar{k}_0, \quad \bar{k}'' = -\frac{3}{4}\bar{k}_0, \quad mE' = \left(\frac{3}{4}\bar{k}_0\right)^2.$$

В данном случае амплитуды  $a\left(-\frac{3}{4}\bar{k}_0; -\frac{3}{4}\bar{k}_0; \left(\frac{3}{4}\bar{k}_0\right)\frac{2}{m}\right)$  и  $a\left(\bar{f}'_1, \bar{f}, \frac{f^2}{m}\right)$ , вынесенные за интеграл, оказываются на массовой поверхности.

Поскольку функция  $G(\bar{f}'_1)$  не имеет полюса по переменной  $f'_1$ , ее также можно вынести за знак интеграла в точке  $f'_1 = f$  и представить в виде  $\frac{i}{m} \sqrt{8\pi\alpha(1 + \alpha r_0)}$ .

После вычисления оставшегося интеграла величина  $A_2(\bar{k}_0; \bar{k}, f)$  при  $k \approx k_0$  будет иметь вид

$$A_1(\bar{k}_0; \bar{k}, f) = -\frac{8}{3} \sqrt{8\pi\alpha(1 + \alpha r_0)} a\left(-\frac{3}{4}\bar{k}_0; -\frac{3}{4}\bar{k}_0; \left(\frac{3}{4}\bar{k}_0\right)\frac{2}{m}\right) \times \\ \times \frac{\left(\frac{3}{4}\bar{k}_0\right)^2}{m} a(f) \frac{1}{iq} \ln \frac{\alpha - i(f - q)}{\alpha - i(f + q)}. \quad (15)$$

Определим значения вкладов  $A_0(\bar{k}_0; -\frac{1}{2}k \pm \bar{f}; \frac{3}{4}\bar{k} \pm \bar{f}/2)$  от полюсных графиков, отвечающих взаимодействию частиц 2 и 3 или 1 и 3 в конечном состоянии. Их легко получить, если в выражение (12) вместо  $\bar{f}$  и  $\bar{k}$  подставить импульсы  $-\frac{3}{4}\bar{k} - \bar{f}/2$  и  $-\frac{1}{2}\bar{k} + \bar{f}$  или  $-\frac{3}{4}\bar{k} + \bar{f}/2$  и  $-\frac{1}{2}\bar{k} - \bar{f}$ , тогда при

$k \sim k_0$ , т. е.  $f \ll k$  получим

$$A_0\left(\bar{k}_0; -\frac{1}{2}\bar{k} \pm \bar{f}; -\frac{3}{4}\bar{k} \mp \frac{\bar{f}}{2}\right) = \frac{8}{3} \sqrt{8\pi\alpha(1 + \alpha r_0)} \times \\ \times a\left(-\frac{3}{4}\bar{k}_0; -\frac{\left(\frac{3}{4}\bar{k}_0\right)^2}{m} \frac{1}{\alpha - (q \pm f)^2}\right). \quad (16)$$

Поскольку амплитуда  $a\left(\frac{3}{4}\bar{k}_0, \bar{f}, \frac{f^2}{m}\right)$ , имеющаяся во вкладе  $A_0(\bar{k}_0; \bar{k}, f)$  от полюсной диаграммы, отличается от амплитуды  $a(f)$ , взятой на массовой поверхности, на члены, пропорциональные  $f/k_0$  и  $\alpha/k_0$ , то вклад от полюсного графика после деления на величину  $\frac{8}{3}a(f) \sqrt{8\pi\alpha(1 + \alpha r_0)}$  будет при  $k \approx k_0$  вялой функцией  $f$  и может быть включен в функцию, аппроксимирующую вклады от неучтенных диаграмм.

Итак,  $A(k, \alpha)$  — полную амплитуду реакции неупругого взаимодействия нуклонов с дейтеронами при  $k \approx k_0$  и  $f \rightarrow 0$  можно представить в виде суммы вкладов от квадратной диаграммы, отвечающей взаимодействию пары частиц с импульсом  $f$ ; вкладов от полюсных диаграмм, отвечающих взаимодействию двух других пар частиц в конечном состоянии, и функции  $G''(\bar{k}_0, \bar{k}, \bar{f})$ , аппроксимирующей вклады остальных гра-



Фиков:

$$A(N+d) = \frac{8}{3} \sqrt{8\pi a (1 + ar_0)} a \left( \frac{3}{4} k_0 \right) \times \\ \times \left\{ \frac{1}{iq} \ln \frac{\alpha - i(f-q)}{\alpha - i(f+q)} + \frac{1}{a(f)} \left[ \frac{1}{\alpha^2 + (q+f)^2} + \frac{1}{\alpha^2 + (q-f)^2} \right] + G''(k_0, \theta) \right\}. \quad (17)$$

Так как в данном случае рассматривается область высоких энергий первичных нуклонов, т. е.  $kr_0 > 1$ , то при расчете абсолютной величины дифференциального сечения неупругого взаимодействия нуклонов с дейтеронами в выражении (17) для  $A(N+d)$  необходимо значение амплитуды взаимодействия пары частиц  $a(3/4, k_0)$  брать из эксперимента.

#### ЛИТЕРАТУРА

1. Комаров В. В., Попова А. М. «Вестн. Моск. ун-та», сер. физ., astron., № 5, 1964.
2. Комаров В. В., Попова А. М. Nucl. Phys., 69, 253, 1965.
3. Комаров В. В., Попова А. М. ЖЭТФ, 45, 214, 1963.
4. Комаров В. В., Попова А. М. Nucl. Phys., 54, 278, 1964.
5. Войтовецкий В. К., Корсунский И. Л., Пажин Ю. Ф. ЖЭТФ, 47, 1612, 1964.

Поступила в редакцию  
22. 8 1964 г.

НИИЯФ